



Méthode des éléments finis Formulation intégrale du problème modèle de la barre

Prof. Th. Gmür

EPFL-STI-IGM-LMAF, ME C1 401, téléphone : 32924, messagerie électronique : thomas.gmuer@epfl.ch



- Orthogonalité (au sens du produit scalaire dans H^1) entre erreur $e^h = u u^h$ et déplacement approché u^h
 - · Forme faible approchée

$$u^{h} \in U^{h} : \int_{0}^{\ell} EA \left(du^{h} / dx \right) \left(d\delta u^{h} / dx \right) dx$$
$$= P \delta u^{h}(\ell) + \int_{0}^{\ell} q \delta u^{h} dx \quad \forall \ \delta u^{h} \in V^{h}$$

Forme faible exacte avec $\delta u = \delta u^h \, (V^h \subset V)$

$$u \in U : \int_0^{\ell} EA \left(\frac{du}{dx} \right) \left(\frac{d\delta u^h}{dx} \right) dx$$
$$= P \delta u^h(\ell) + \int_0^{\ell} q \delta u^h dx \quad \forall \ \delta u^h \in V^h$$







-80-



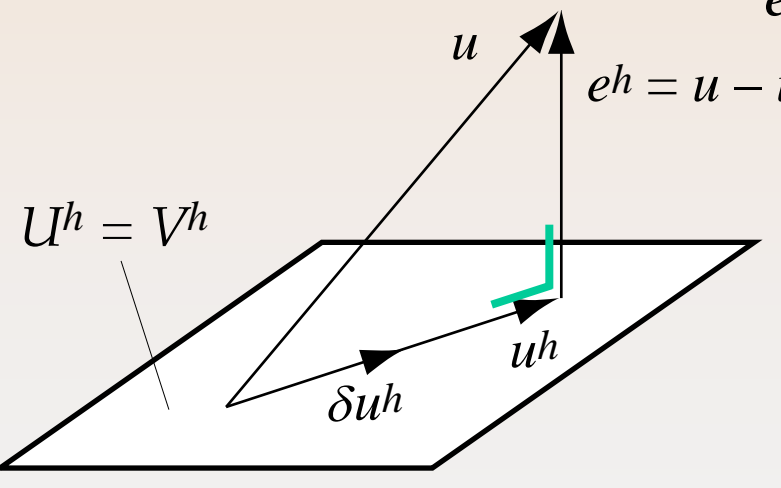


Soustraction des deux équations

$$\int_{0}^{\ell} EA \left(\frac{du}{dx} - \frac{du^{h}}{dx} \right) \left(\frac{d\delta u^{h}}{dx} \right) dx$$

$$= \int_{0}^{\ell} EA \left(\frac{de^{h}}{dx} \right) \left(\frac{d\delta u^{h}}{dx} \right) dx = 0 \quad \forall \ \delta u^{h} \in V^{h}$$

$$e^{h} \text{ fonction erreur}$$





 u^h projection de u sur V^h

Prof. Th. Gmür Méthode des éléments finis Octobre 2018







-81-



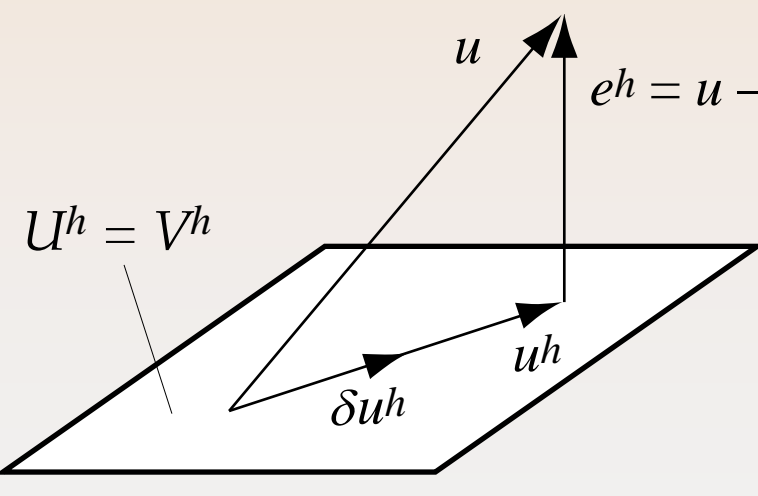


Soustraction des deux équations

$$\int_{0}^{\ell} EA \left(\frac{du}{dx} - \frac{du^{h}}{dx} \right) \left(\frac{d\delta u^{h}}{dx} \right) dx$$

$$= \int_{0}^{\ell} EA \left(\frac{de^{h}}{dx} \right) \left(\frac{d\delta u^{h}}{dx} \right) dx = 0 \quad \forall \ \delta u^{h} \in V^{h}$$

$$e^{h} \text{ fonction erreur}$$





 u^h projection de u sur V^h



 u^h meilleure approximation de u dans U^h









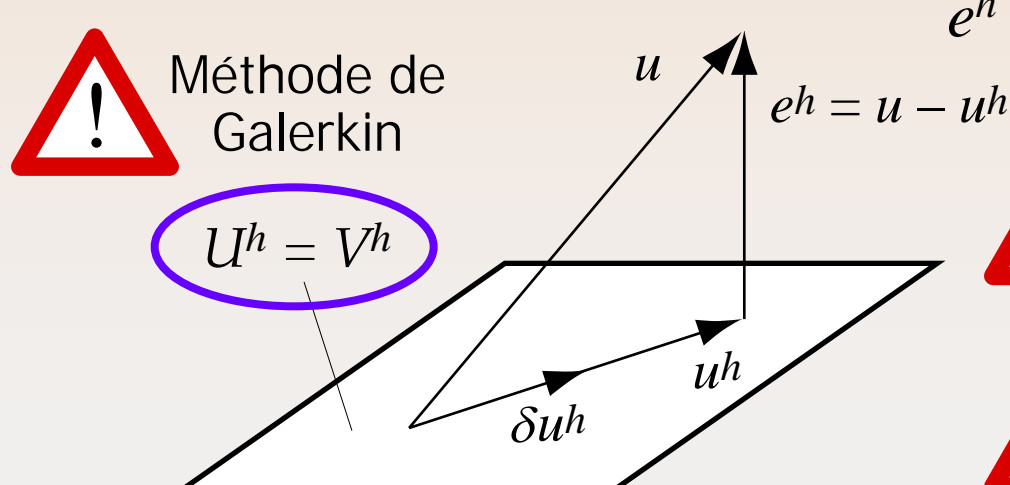


Soustraction des deux équations

$$\int_0^{\ell} EA \left(\frac{du}{dx} - \frac{du^h}{dx} \right) \left(\frac{d\delta u^h}{dx} \right) dx$$

$$= \int_0^{\ell} EA \left(\frac{de^h}{dx} \right) \left(\frac{d\delta u^h}{dx} \right) dx = 0 \quad \forall \ \delta u^h \in V^h$$

$$e^h \text{ fonction erreur}$$





 u^h projection de u sur V^h



 u^h meilleure approximation de u dans U^h







-83-







- Meilleure approximation u^h de la solution cherchée u dans le sous-espace U^h
 - Norme de l'écart entre la solution u et le déplacement virtuel δu^h

$$\int_{0}^{\ell} [d(u - \delta u^{h})/dx]^{2} dx$$

$$= \int_{0}^{\ell} [d(u - u^{h} + u^{h} - \delta u^{h})/dx]^{2} dx$$

$$= \int_{0}^{\ell} [d(u - u^{h})/dx]^{2} dx + \int_{0}^{\ell} [d(u^{h} - \delta u^{h})/dx]^{2} dx$$

$$+ 2 \int_{0}^{\ell} [d(u - u^{h})/dx] [d(u^{h} - \delta u^{h})/dx] dx$$











- Meilleure approximation u^h de la solution cherchée u dans le sous-espace U^h
 - Norme de l'écart entre la solution u et le déplacement virtuel δu^h

$$\int_{0}^{\ell} [d(u - \delta u^{h})/dx]^{2} dx$$

$$= \int_{0}^{\ell} [d(u - u^{h} + u^{h} - \delta u^{h})/dx]^{2} dx$$

$$= \int_{0}^{\ell} [d(u - u^{h})/dx]^{2} dx + \int_{0}^{\ell} [d(u^{h} - \delta u^{h})/dx]^{2} dx$$

$$+ 2 \int_{0}^{\ell} [d(u - u^{h})/dx] [d(u^{h} - \delta u^{h})/dx] dx$$







-85-





Insertion du déplacement virtuel
$$w^h = u^h - \delta u^h$$
 ($w^h \in V^h$)
$$\int_0^\ell \left[\mathrm{d}(u - \delta u^h) / \mathrm{d}x \right]^2 \, \mathrm{d}x$$

$$= \int_0^\ell \left[\mathrm{d}(u - u^h) / \mathrm{d}x \right]^2 \, \mathrm{d}x + \int_0^\ell \left(\mathrm{d}w^h / \mathrm{d}x \right)^2 \, \mathrm{d}x$$

$$+ 2 \int_0^\ell \left[\mathrm{d}(u - u^h) / \mathrm{d}x \right] \left(\mathrm{d}w^h / \mathrm{d}x \right) \, \mathrm{d}x$$











Insertion du déplacement virtuel $w^h = u^h - \delta u^h$ $(w^h \in V^h)$

$$\int_{0}^{\ell} [d(u - \delta u^{h})/dx]^{2} dx$$

$$= \int_{0}^{\ell} [d(u - u^{h})/dx]^{2} dx + \int_{0}^{\ell} (dw^{h}/dx)^{2} dx$$

$$+ 2 \int_{0}^{\ell} [d(u - u^{h})/dx] (dw^{h}/dx) dx$$

• Prise en compte de l'orthogonalité de la solution $(w^h \in V^h)$

$$\int_0^\ell \left[d(u - \delta u^h) / dx \right]^2 dx$$

$$= \int_0^\ell \left[d(u - u^h) / dx \right]^2 dx + \int_0^\ell \left(dw^h / dx \right)^2 dx$$

-87-











Réorganisation de l'égalité

$$\int_0^\ell \left[d(u - u^h)/dx \right]^2 dx$$

$$= \int_0^\ell \left[d(u - \delta u^h)/dx \right]^2 dx - \int_0^\ell (dw^h/dx)^2 dx$$

Meilleure approximation dans le sous-espace

$$\int_0^{\ell} [d(u - u^h)/dx]^2 dx$$

$$\leq \int_0^{\ell} [d(u - \delta u^h)/dx]^2 dx \quad \forall \ \delta u^h \in V^h$$



Optimalité des méthodes de Galerkin et des éléments finis









Réorganisation de l'égalité

$$\int_0^\ell \left[d(u - u^h)/dx \right]^2 dx$$

$$= \int_0^\ell \left[d(u - \delta u^h)/dx \right]^2 dx - \int_0^\ell (dw^h/dx)^2 dx$$

Meilleure approximation dans le sous-espace

$$\int_0^{\ell} [d(u - u^h)/dx]^2 dx$$

$$\leq \int_0^{\ell} [d(u - \delta u^h)/dx]^2 dx \quad \forall \ \delta u^h \in V^h$$

-89-



Optimalité des méthodes de Galerkin et des éléments finis









 Précision locale optimale (valeurs nodales exactes de la solution) : superconvergence

Démonstration p. 38 du cours



Superconvergence liée à l'allure de la forme forte et au choix des fonctions de base

- Estimations asymptotiques d'erreur
 - Rappel de la définition de l'erreur d'approximation

$$e^h(x) = u(x) - u^h(x)$$













Norme maximale de l'erreur (norme C^0)

$$|e^h|_0 = \max_{0 \le x \le \ell} |e^h|$$

- Norme euclidienne de l'erreur (norme H^0)

$$\|e^h\|_0 = \left[\int_0^\ell (e^h)^2 dx\right]^{1/2}$$

- Norme énergétique de l'erreur (norme H^1)

$$\|e^h\|_1 = \left[\int_0^\ell \left[(e^h)^2 + (de^h/dx)^2\right] dx\right]^{1/2}$$
erreur sur le erreur sur la déplacement déformation

-91-















Semi-norme de l'énergie de déformation (norme H_E^1 de l'erreur)

$$\|e^h\|_E = \left[\int_0^\ell (de^h/dx)^2 dx\right]^{1/2}$$
 $\|e^h\|_E \to 0$ $\text{si } e^h \to 0$



$$\|e^h\|_E \to 0$$
si $e^h \to 0$







-92-





- Semi-norme de l'énergie de déformation (norme $H_{\!E}^1$ de l'erreur)

$$\|e^h\|_E = \left[\int_0^\ell (\mathrm{d}e^h/\mathrm{d}x)^2 \,\mathrm{d}x\right]^{1/2}$$

Estimations asymptotiques de l'erreur

$$\|e^h\|_k \le C_k h^p$$
 $(h/\ell << 1)$ k type de norme

 C_k facteur de convergence

p taux de convergence (p = m + 1 - k)

m degré du polynôme complet caractérisant les fonctions de base $h_i(x)$

h longueur caractéristique du réseau ($h = \max^{e} \ell$)











- Semi-norme de l'énergie de déformation (norme $H_{\!E}^1$ de l'erreur)

$$\|e^h\|_E = \left[\int_0^\ell (\mathrm{d}e^h/\mathrm{d}x)^2 \,\mathrm{d}x\right]^{1/2}$$

Estimations asymptotiques de l'erreur

$$\|e^h\|_k \le C_k p$$
 $(h/\ell << 1)$ k type de norme

 C_k facteur de convergence

p taux de convergence (p = m + 1 - k)

m degré du polynôme complet caractérisant les fonctions de base $h_i(x)$

h longueur caractéristique du réseau ($h = \max^{e} \ell$)











- Semi-norme de l'énergie de déformation (norme $H_{\!E}^1$ de l'erreur)

$$\|e^h\|_E = \left[\int_0^\ell (\mathrm{d}e^h/\mathrm{d}x)^2 \,\mathrm{d}x\right]^{1/2}$$

Estimations asymptotiques de l'erreur

$$\parallel e^h \parallel_k \le C_k h^p \qquad (h/\ell << 1) \qquad k \quad \text{type de norme}$$

 C_k facteur de convergence

p taux de convergence (p = (m) + 1 - k)

-95-

m degré du polynôme complet caractérisant les fonctions de base $h_i(x)$

h longueur caractéristique du réseau ($h = \max^{e} \ell$)











- Semi-norme de l'énergie de déformation (norme $H_{\!E}^1$ de l'erreur)

$$\|e^h\|_E = \left[\int_0^\ell (\mathrm{d}e^h/\mathrm{d}x)^2 \,\mathrm{d}x\right]^{1/2}$$

Estimations asymptotiques de l'erreur

$$\|e^h\|_k \le C_k h^p$$
 $(h/\ell << 1)$ k type de norme

 C_k facteur de convergence

p taux de convergence (p = m + 1 - k)

-96-

m degré du polynôme complet caractérisant les fonctions de base $h_i(x)$

h longueur caractéristique du réseau ($h = \max^{e} \ell$)











- Semi-norme de l'énergie de déformation (norme $H_{\!E}^1$ de l'erreur)

$$\|e^h\|_E = \left[\int_0^\ell (\mathrm{d}e^h/\mathrm{d}x)^2 \,\mathrm{d}x\right]^{1/2}$$

Estimations asymptotiques de l'erreur

$$\|e^h\|_k \le C_k h^p$$
 $(h/\ell << 1)$ k type de norme

 C_k facteur de convergence

p taux de convergence (p = m + 1 - k)

m degré du polynôme complet caractérisant les fonctions de base $h_i(x)$

h longueur caractéristique du réseau ($h = \max^{e} \ell$)











Estimations d'erreur *a priori* avec des fonctions de base linéaires

$$m = 1$$

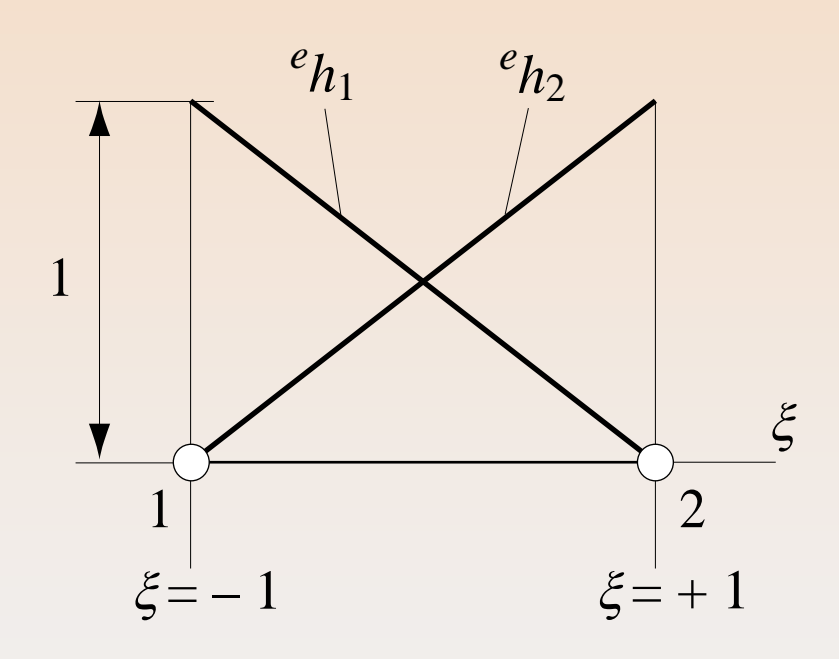
$$p = 2 - k$$

$$\|e^h\|_0 \le C_0 h^2$$

$$\|e^h\|_E \le C_E h$$

$$(|e^h|_0 \le C_0'h^2)$$

 $||e^{h}||_{1} \leq C_{1} h$









-98-





Estimations d'erreur *a priori* avec des fonctions de base linéaires

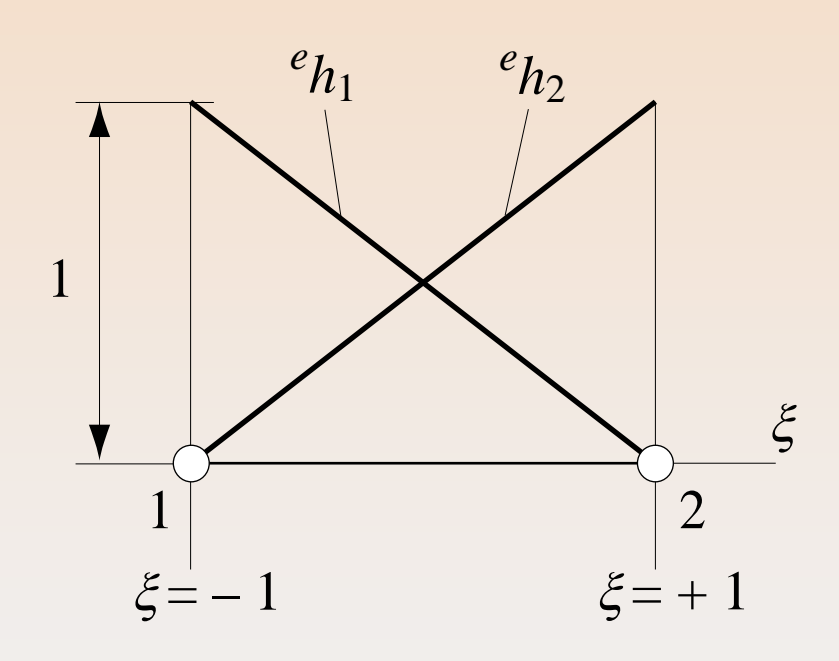
$$m = 1$$

$$p = 2 - k$$

$$\|e^h\|_0 \le C_0 h^2$$

$$\|e^h\|_E \le C_E h$$

$$\|e^h\|_1 \le C_1 h$$









-99-





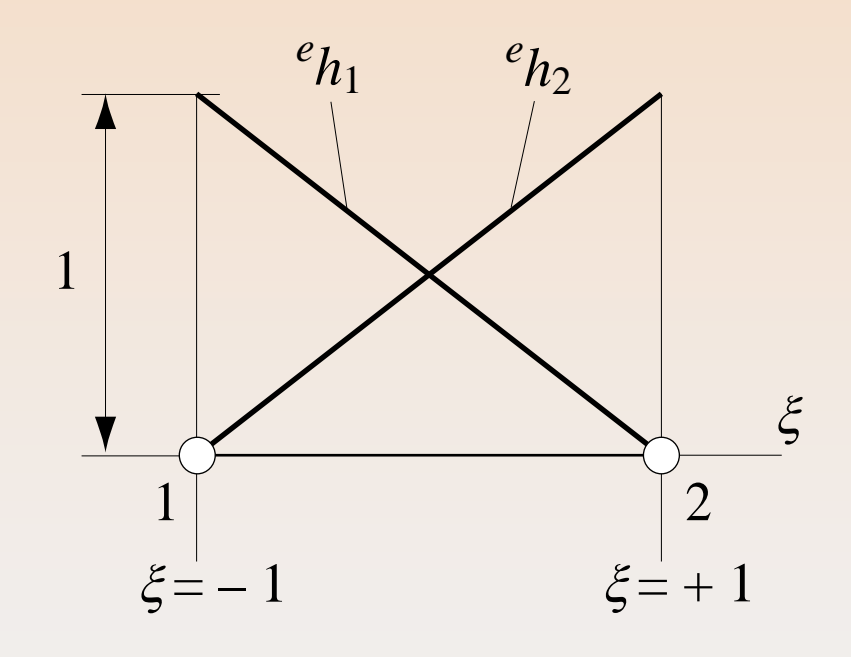
Estimations d'erreur *a priori* avec des fonctions de base linéaires

$$m = 1$$
$$p = 2 - k$$

$$\|e^h\|_0 \leq C_0 h^2$$

$$\|e^h\|_E \leq C_E h$$

$$\|e^h\|_1 \leq C_1 h$$





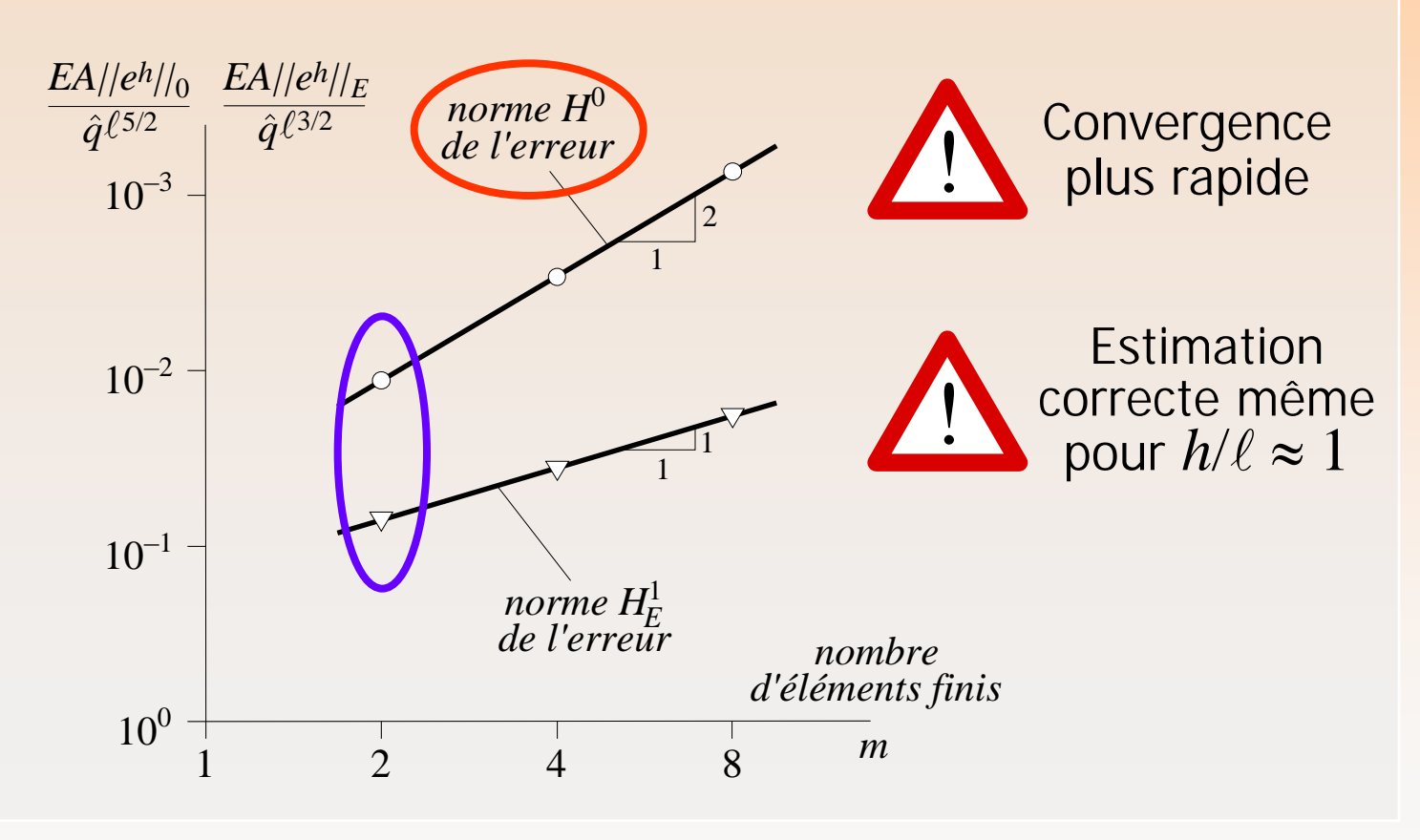
Taux de convergence déplacement ⇔ déformation







Exemple : problème de la barre soumise à une charge répartie









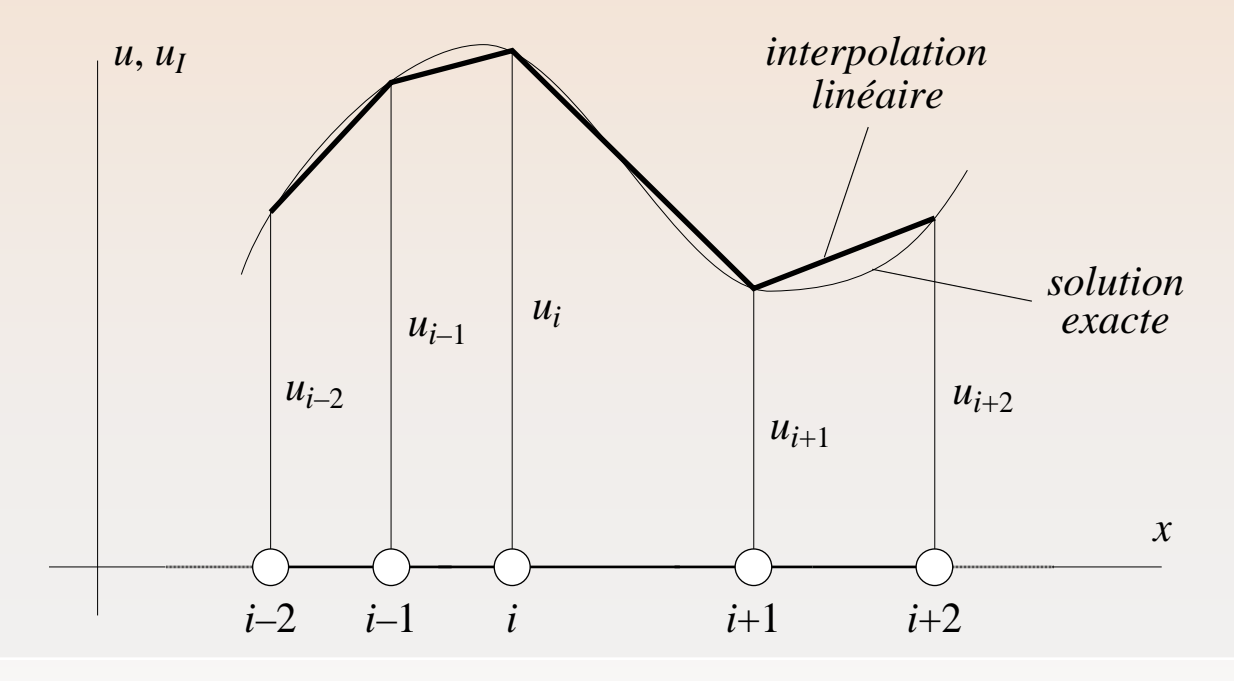
-101-





- Etablissement de la norme énergétique de l'erreur
 - Interpolation linéaire du déplacement (solution exacte aux nœuds)

$$u_I(x_i) = u(x_i) = u_i$$
 $(i = 1, 2, ..., p)$



-102-











 Décomposition en série de Fourier du résidu entre solution exacte et interpolation nodale entre deux nœuds successifs

$$\rho(x) = u(x) - u_I(x) = \sum_{m=1}^{\infty} a_m \sin \frac{m \pi x}{e_{\ell}} \quad (0 \le x \le e^{\ell})$$

$$e_{\ell} \quad \text{longueur de l'élément fini}$$

Norme des dérivées première et seconde de la fonction résidu

$$\int_{0}^{e_{\ell}} (d\rho/dx)^{2} dx = \frac{e_{\ell}}{2} \sum_{m=1}^{\infty} \left[\frac{m\pi}{e_{\ell}} \right]^{2} a_{m}^{2}$$

$$\int_{0}^{e_{\ell}} (d^{2}\rho/dx^{2})^{2} dx = \frac{e_{\ell}}{2} \sum_{m=1}^{\infty} \left[\frac{m\pi}{e_{\ell}} \right]^{4} a_{m}^{2}$$







-103-





Inégalité de <u>Poincaré-Friedrich</u> ($m \le m^2$ pour $m \ge 1$)

$$\left(\frac{m\pi}{e_{\ell}}\right)^{2} a_{m}^{2} \leq \frac{e_{\ell}^{2}}{\pi^{2}} \left(\frac{m\pi}{e_{\ell}}\right)^{4} a_{m}^{2} \qquad (m \geq 1)$$

$$\Rightarrow \int_{0}^{e_{\ell}} (\mathrm{d}\rho/\mathrm{d}x)^{2} \, \mathrm{d}x \leq \frac{e_{\ell}^{2}}{\pi^{2}} \int_{0}^{e_{\ell}} (\mathrm{d}^{2}\rho/\mathrm{d}x^{2})^{2} \, \mathrm{d}x$$

- Caractérisation de la norme de la dérivée du résidu (élément $^e\Omega$)

-104-

$$\int_{0}^{e_{\ell}} (\mathrm{d}\rho/\mathrm{d}x)^{2} \, \mathrm{d}x \leq \frac{e_{\ell}^{2}}{\pi^{2}} \int_{0}^{e_{\ell}} (\mathrm{d}^{2}u/\mathrm{d}x^{2})^{2} \, \mathrm{d}x \qquad \underbrace{\int_{0}^{u_{I}(x)} u_{I}(x)}_{\text{linéaire}}$$

$$\leq \frac{h^{2}}{\pi^{2}} \int_{0}^{e_{\ell}} (\mathrm{d}^{2}u/\mathrm{d}x^{2})^{2} \, \mathrm{d}x \qquad (h = \max_{e} e^{\ell}\ell)$$











Extension de la caractérisation de la norme à l'ensemble du réseau

$$\int_0^\ell (d\rho/dx)^2 dx \le \frac{h^2}{\pi^2} \int_0^\ell (d^2u/dx^2)^2 dx$$

Caractérisation analogue de la norme du résidu

$$\int_0^\ell \rho^2 \, \mathrm{d}x \, \le \, \frac{h^4}{\pi^4} \, \int_0^\ell \, (\mathrm{d}^2 u / \mathrm{d}x^2)^2 \, \mathrm{d}x$$

Norme énergétique de la fonction résidu

$$\int_{0}^{\ell} \left[\rho^{2} + (d\rho/dx)^{2} \right] dx \le \frac{h^{2}}{\pi^{2}} \left[1 + \frac{h^{2}}{\pi^{2}} \right] \int_{0}^{\ell} (d^{2}u/dx^{2})^{2} dx$$

$$\le \frac{h^{2}}{\pi^{2}} \int_{0}^{\ell} (d^{2}u/dx^{2})^{2} dx \qquad (h/\ell << 1)$$







-105-





Norme énergétique de l'erreur entre solution exacte et déplacement approché (norme H^1)

$$\int_0^\ell \left[(e^h)^2 + (\mathrm{d}e^h/\mathrm{d}x)^2 \right] \mathrm{d}x \le \int_0^\ell \left[\rho^2 + (\mathrm{d}\rho/\mathrm{d}x)^2 \right] \mathrm{d}x$$

$$\le \frac{h^2}{\pi^2} \int_0^\ell (\mathrm{d}^2u/\mathrm{d}x^2)^2 \, \mathrm{d}x$$
Meilleure approximation possible





-106-





Norme énergétique de l'erreur entre solution exacte et déplacement approché (norme H^1)

$$\int_0^{\ell} \left[(e^h)^2 + (de^h/dx)^2 \right] dx \le \int_0^{\ell} \left[\rho^2 + (d\rho/dx)^2 \right] dx$$

$$\le \frac{h^2}{\pi^2} \int_0^{\ell} (d^2u/dx^2)^2 dx$$

$$\Rightarrow \|e^h\|_1^2 \le \|\rho\|_1^2 \le \frac{h^2}{\pi^2} \|d^2u/dx^2\|_0^2$$







-107-





Norme énergétique de l'erreur entre solution exacte et déplacement approché (norme H^1)

$$\int_0^{\ell} \left[(e^h)^2 + (de^h/dx)^2 \right] dx \le \int_0^{\ell} \left[\rho^2 + (d\rho/dx)^2 \right] dx$$

$$\le \frac{h^2}{\pi^2} \int_0^{\ell} (d^2u/dx^2)^2 dx$$

$$\Rightarrow \|e^h\|_1^2 \le \|\rho\|_1^2 \le \frac{h^2}{\pi^2} \|d^2u/dx^2\|_0^2$$

$$\Rightarrow \left(\|e^h\|_1 \le C_1 h \right) \quad (h/\ell << 1)$$

-108-







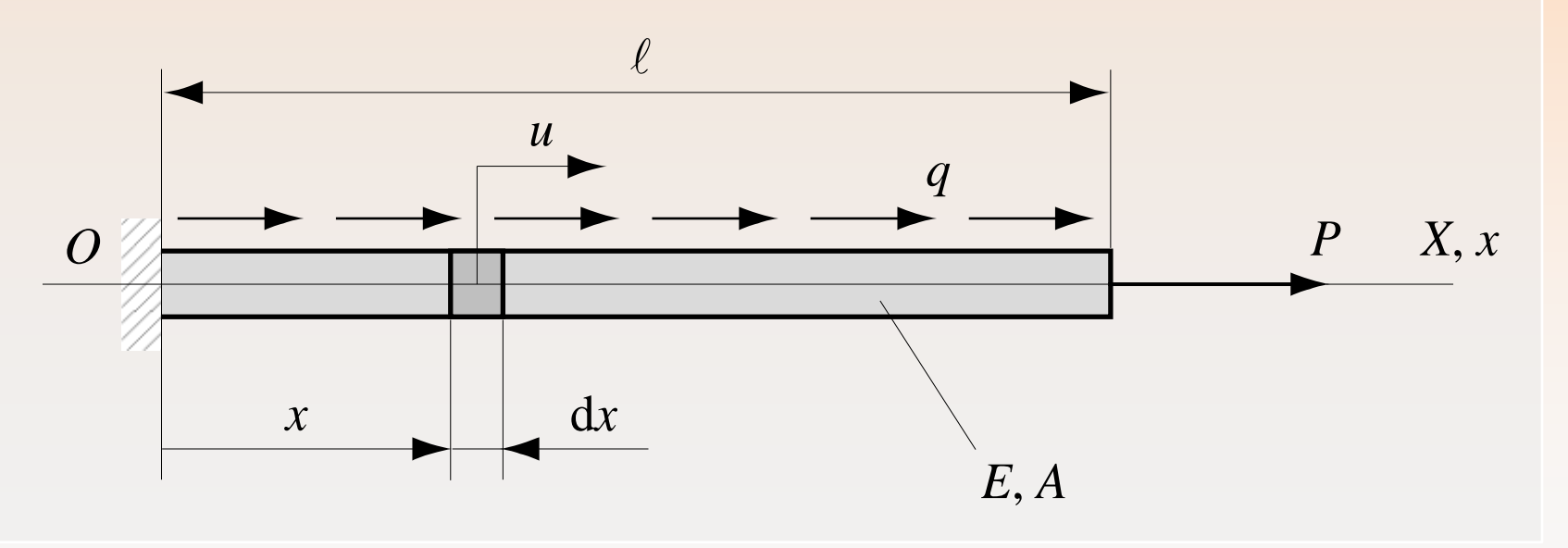




Energie potentielle totale (fonctionnelle) du système

$$J(w) = \frac{1}{2} \int_0^{\ell} EA \ (dw/dx)^2 \ dx - \left[\int_0^{\ell} q \ w \ dx + P \ w(\ell) \right]$$

énergie de déformation travail des forces externes







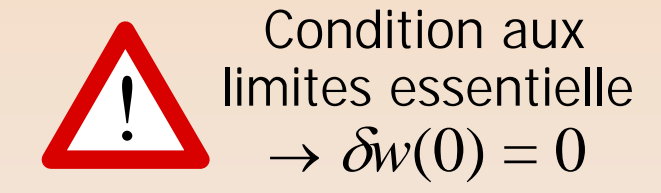






- Approche variationnelle
 - Minimisation de la fonctionnelle

$$J(u) \leq J(w) \quad \forall \ w \in U$$



Variation première de la fonctionnelle

$$\delta J(w) = \int_0^{\ell} EA \left(\frac{dw}{dx} \right) \left(\frac{d\delta w}{dx} \right) dx$$

$$- \left[\int_0^{\ell} q \, \delta w \, dx + P \, \delta w(\ell) \right]$$

$$= -\int_0^{\ell} \left[EA \left(\frac{d^2 w}{dx^2} \right) + q \right] \, \delta w \, dx$$

$$+ \left[EA \left(\frac{dw}{dx} \right) \right|_{x = \ell} - P \right] \, \delta w(\ell)$$

-110-











Stationnarité de la fonctionnelle

$$\delta J(w = u) = 0 \quad \forall w \in U$$

$$\Rightarrow EA (d^2w/dx^2) + q = 0$$

$$EA (dw/dx)|_{x = \ell} - P = 0$$







-111-





Stationnarité de la fonctionnelle

$$\delta J(w = u) = 0 \quad \forall w \in U$$

$$\Rightarrow KA \left(\frac{d^2w}{dx^2} \right) + q = 0$$

 $EA\left(\frac{\mathrm{d}w}{\mathrm{d}x}\right)\Big|_{x=\ell} \to P = 0$

équations d'Euler-Lagrange



Equivalence de la formulation variationnelle et de la forme forte







-112-





- Méthode de Ritz-Galerkin
 - Approximation de Ritz-Galerkin

$$w^h(x) = \sum_{i=1}^n \alpha_i h_i(x)$$



Analogie avec la méthode de Galerkin

Fonctionnelle approchée

$$J(w^h) = \frac{1}{2} \int_0^{\ell} EA (dw^h/dx)^2 dx$$
$$- \left[\int_0^{\ell} q w^h dx + P w^h(\ell) \right]$$

-113-











Insertion de l'approximation dans la fonctionnelle approchée

$$J(w^{h}) = \frac{1}{2} \sum_{i=1}^{n} \sum_{j=1}^{n} \alpha_{i} k_{ij} \alpha_{j} - \sum_{i=1}^{n} \alpha_{i} r_{i}$$

Analogie avec la formule de Clapeyron

$$k_{ij} = \int_0^{\ell} EA \left(\frac{dh_i}{dx} \right) \left(\frac{dh_j}{dx} \right) dx$$

$$r_i = h_i(\ell) P + \int_0^{\ell} h_i q dx$$

Minimisation de la fonctionnelle approchée

$$\partial J(w^h = u^h)/\partial \alpha_i = 0 \quad (i = 1, 2, ..., n)$$

$$\Rightarrow \sum_{i=1}^n k_{ij} \alpha_j = r_i \quad (i = 1, 2, ..., n)$$

-114-

Analogie avec la méthode des éléments finis













- Interprétation physique de la forme variationnelle approchée
 - Surestimation de l'énergie potentielle totale $oldsymbol{J}$

$$J(u) \le J(w) \quad \forall w \in U$$

$$\Rightarrow J(u) \le J(u^h) \quad \forall u^h \in U^h$$

• Energie potentielle totale au point de stationnarité (w = u)

$$J(u) = \frac{1}{2} \int_0^{\ell} EA \, (du/dx)^2 \, dx - \int_0^{\ell} q \, u \, dx - P \, u(\ell)$$

- Forme faible au point de stationnarité ($\delta u = u$)

$$\int_0^\ell EA \ (\mathrm{d}u/\mathrm{d}x)^2 \ \mathrm{d}x \ = \ \int_0^\ell q \ u \ \mathrm{d}x \ + \ P \ u(\ell)$$

-115-











Lien entre énergie potentielle totale J et énergie de déformation U

$$J(u) = -\frac{1}{2} \int_0^\ell EA \left(\frac{du}{dx} \right)^2 dx = -U(u)$$

Sous-estimation de l'énergie de déformation U

$$J(u) \leq J(u^h) \quad \forall \ u^h \in U^h$$

$$\Rightarrow U(u) \geq U(u^h) \quad \forall \ u^h \in U^h$$



Sous-estimation des déplacements Surestimation de la rigidité











